



Препринт Санкт-Петербургского математического общества  
Поступил 26.05.2021  
Доступен на сайте <http://www.mathsoc.spb.ru/preprint/>

---

# О доступной локальной асимптотической эффективности некоторых критериев согласия

А.И. Назаров\*      А.В. Чиринा\*\*

*Памяти Якова Юрьевича Никитина,  
Друга и Учителя*

## 1 Постановка задачи

Пусть  $X_j$  – независимые наблюдения с.в.  $X$  с непрерывной ф.р.  $F$ . Рассмотрим задачу проверки гипотезы о том, что  $F = F_0$  (здесь  $F_0$  – известная ф.р.) против альтернативы  $F \neq F_0$ . Одним из классических способов построения непараметрических статистик для проверки гипотезы согласия является использование различных функционалов  $\mathcal{J}[\xi_n]$  от (преобразованного) эмпирического процесса

$$\xi_n(s) = \sqrt{n} \left( n^{-1} \sum_{j=1}^n \mathbf{1}\{F_0(X_j) \leq s\} - s \right). \quad (1)$$

Для сравнения эффективности различных статистик используются различные количественные характеристики. Мы рассмотрим асимптотическую эффективность

---

\*ПОМИ РАН и Санкт-Петербургский госуниверситет. Работа частично поддержана совместным грантом РФФИ–DFG 20-51-12004.

\*\*Санкт-Петербургский государственный электротехнический университет “ЛЭТИ”.

по Бахадуру, мерой которой является так называемый *точный баходровский наклон* (см., напр., [6, §1.2]) – неслучайная положительная функция параметра  $\theta$ , описывающего альтернативу. Поскольку его вычисление – весьма трудная задача, с учетом практической важности случая близких альтернатив часто ограничиваются изучением *локального* точного наклона, т.е. асимптотикой точного наклона при  $F \rightarrow F_0$ . При весьма общих предположениях эта асимптотика имеет вид  $b\theta^2$  при  $\theta \rightarrow 0$ , коэффициент  $b$  называется *баходровским локальным индексом* соответствующей последовательности статистик. Для широкого класса статистик алгоритм вычисления локального индекса был дан в главе II монографии Я.Ю. Никитина [6].

Поскольку (см., напр., [6, Теорема 1.2.3]) для любой последовательности статистик точный баходровский наклон не превосходит удвоенной информации Кульбака–Лейблера, особый интерес представляют статистики, *локально асимптотически оптимальные по Баходуру* (ЛАО), для которых отношение этих величин стремится к 1 при  $F \rightarrow F_0$ . Другими словами, ЛАО статистики обладают максимально возможным баходровским локальным индексом для данного семейства альтернатив.

Для некоторых конкретных семейств альтернатив (сдвига, масштаба и др.) вопрос о том, является ли последовательность статистик ЛАО, определяется нулевой гипотезой. Проблема определения распределений  $F_0$ , для которых данная последовательность статистик является ЛАО, подробно обсуждается в [6, §§6.2-6.3]. Однако для некоторых статистик множество таких распределений оказывается пустым. Поясним это.

При некоторых условиях регулярности на семейство ф.р.  $F_\theta$  в [6, §6.1] показано, что указанные функции распределения  $F_0$  являются решениями дифференциального уравнения

$$\frac{\partial}{\partial \theta} F_\theta(x) \Big|_{\theta=0} = u(F_0(x)), \quad (2)$$

где  $u$  – одна из *ведущих функций* для соответствующей последовательности статистик. Это означает, что функция  $u$  доставляет максимум функционалу  $\mathcal{J}[u]$  на единичном шаре в пространстве Соболева  $\dot{W}_2^1(0, 1)$  (ср. [6, §2.6] и [4]).

Однако для семейства с параметром сдвига  $F_\theta(x) = F(x + \theta)$  уравнение (2) переписывается так:

$$F'_0(x) = u(F_0(x)),$$

откуда следует, что функция  $u$  должна быть положительной на интервале  $(0, 1)$ . Это требование справедливо также для некоторых других семейств, например, для семейства с параметром масштаба, если носитель ф.р. сосредоточен на положительной полуоси.

Для многих последовательностей статистик (в том числе для классических статистик Колмогорова, Ватсона–Дарлинга, Крамера–фон Мизеса, Андерсона–Дарлинга и др.) множество ведущих функций содержит функцию, положительную на  $(0, 1)$ , см. [6, §6.2]. Однако для некоторых более сложных статистик это не так. Приведем два примера.

1. В работе Н. Хенце и Я.Ю. Никитина [2] были введены интегрированные аналоги статистики Ватсона

$$\begin{aligned}\tilde{U}_n^2 &= \int_0^1 \left( A_n(s) - \int_0^1 A_n(t) dt \right)^2 ds \\ \bar{U}_n^2 &= \int_0^1 \left( A_n(s) - sA_n(1) \right)^2 ds,\end{aligned}$$

где

$$A_n(s) = \int_0^s \xi_n(t) dt$$

(процесс  $\xi_n(t)$  определен в (1)).

В [2] показано, что статистика  $\tilde{U}_n^2$  локально асимптотически оптимальна при альтернативе сдвига для распределения гиперболического косинуса (с плотностью  $(\pi \operatorname{ch}(x))^{-1}$ ). В то же время для статистики  $\bar{U}_n^2$  максимизирующая функция в соответствующей экстремальной задаче

$$\begin{aligned}\mathcal{J}_1[u] &:= \int_0^1 \left( \int_0^x u(t) dt - x \int_0^1 u(t) dt \right)^2 dx \rightarrow \max; \\ \mathcal{I}[u] &:= \int_0^1 (u'(x))^2 dx \leq 1; \quad u(0) = u(1) = 0\end{aligned}\tag{3}$$

знакопеременна, и потому эта статистика при альтернативе сдвига не является локально асимптотически оптимальной ни для какого распределения.

2. В диссертации О.А. Подкорытовой [7] среди других рассматривались статистики  $S_{p,n} = \|\nu_n\|_{L_p(0,1)}^2$ , основанные на преобразовании Деовельса эмпирического процесса [1]

$$\nu_n(s) = \xi_n(s) + \int_0^s \frac{\xi_n(r)}{1-r} dr - s \int_0^1 \frac{\xi_n(r)}{1-r} dr.$$

В [7, §4.4] показано, что в соответствующей экстремальной задаче (при  $p = \infty$  интеграл в  $\mathcal{J}_{2,p}[u]$  следует заменить на максимум, см. (14))

$$\begin{aligned} \mathcal{J}_{2,p}[u] &:= \left[ \int_0^1 \left| u(x) + \int_0^x \frac{u(t)}{1-t} dt - x \int_0^1 \frac{u(t)}{1-t} dt \right|^p dx \right]^{\frac{2}{p}} \rightarrow \max; \\ \mathcal{I}[u] &= \int_0^1 (u'(x))^2 dx \leq 1; \quad u(0) = u(1) = 0 \end{aligned} \tag{4}$$

максимизирующая функция знакопеременна<sup>1</sup>, и эти статистики при альтернативе сдвига также не являются локально асимптотически оптимальными ни для какого распределения.

В подобной ситуации естественно поставить вопрос: какова максимальная *доступная локальная асимптотическая эффективность* таких статистик (например, при альтернативе сдвига)?

Для ответа на этот вопрос следует решить модифицированную задачу о максимуме соответствующего функционала (в приведенных примерах это функционалы  $\mathcal{J}_1$  и  $\mathcal{J}_{2,p}$  соответственно) на множестве *неотрицательных* функций из единичного шара в  $\overset{\circ}{W}_2^1(0, 1)$ .

**Замечание.** С точки зрения вариационного исчисления такая постановка (*задача с односторонним ограничением*) корректна. Однако максимизирующая функция заведомо обращается в нуль во внутренних точках промежутка  $[0, 1]$  и потому соответствует распределению с разрывной ф.р., что невозможно по условию задачи. Тем не менее, эта максимизирующая функция может быть аппроксимирована функциями, *положительными на  $(0, 1)$* . Поэтому, хотя полученная локальная асимптотическая эффективность по-прежнему не достигается, для любого  $\varepsilon > 0$  существуют распределения, для которых она достигается с точностью до  $\varepsilon$ .

В настоящей работе мы вычислим доступную локальную асимптотическую эффективность при альтернативе сдвига для статистик  $\bar{U}_n^2$  и  $S_{\infty,n}$ . Соответствующая задача для  $S_{p,n}$  при произвольном  $p$ , по-видимому, сколь-нибудь явно решена быть не может. Надежда на получение ответа есть лишь в случаях  $p = 1$  и  $p = 2$ .

---

<sup>1</sup>Поскольку результаты главы 4 [7] труднодоступны, в Приложении 1 мы приводим упрощенное доказательство этого факта.

## 2 Статистика $\bar{U}_n^2$

Мы ищем максимум в экстремальной задаче (3) при дополнительном условии  $u \geq 0$ .

Пересечение единичного шара в пространстве Соболева  $\overset{\circ}{W}_2^1(0, 1)$  с конусом  $u \geq 0$  слабо замкнуто в  $\overset{\circ}{W}_2^1(0, 1)$ . Поэтому слабо непрерывный на  $\overset{\circ}{W}_2^1(0, 1)$  функционал  $\mathcal{J}_1$  достигает на этом множестве наибольшего значения. Более того, ввиду однородности функционалов  $\mathcal{I}$  и  $\mathcal{J}_1$  можно заменить ограничение  $\mathcal{I}[u] \leq 1$  на  $\mathcal{I}[u] = 1$ .

Также ввиду однородности функционалов  $\mathcal{I}$  и  $\mathcal{J}_1$  можно рассмотреть равносильную задачу

$$\mathcal{P}_1[u] := \frac{\mathcal{J}_1[u]}{\mathcal{I}[u]} \rightarrow \max; \quad u \geq 0; \quad u \not\equiv 0; \quad u(0) = u(1) = 0.$$

Необходимое условие максимума

$$d\mathcal{P}_1[u]\eta = \frac{\mathcal{P}_1[u]}{\mathcal{I}[u]} \cdot (\mathcal{P}_1[u]^{-1} \cdot d\mathcal{J}_1[u]\eta - d\mathcal{I}[u]\eta) \leq 0 \quad (5)$$

для всех приращений  $\eta \in \overset{\circ}{W}_2^1(0, 1)$  таких, что  $u + \eta \geq 0$ . Обозначим  $\lambda^{-1}$  значение функционала  $\mathcal{P}_1[u]$  на максимизирующую функцию.

Подсчитаем дифференциал:

$$\begin{aligned} \frac{1}{2} d(\lambda\mathcal{J}_1 - \mathcal{I})[u]\eta &= - \int_0^1 u'(x)\eta'(x) dx \\ &+ \lambda \int_0^1 \left( \int_0^x u(t) dt - x \int_0^1 u(t) dt \right) \left( \int_0^x \eta(t) dt - x \int_0^1 \eta(t) dt \right) dx \\ &= \langle u'', \eta \rangle + \lambda \int_0^1 f_1(x)\eta(x) dx, \end{aligned}$$

где  $u''$  понимается в смысле обобщенных функций, и

$$f_1(x) = \int_x^1 (U(t) - tU(1)) dt - \int_0^1 (tU(t) - t^2U(1)) dt;$$

здесь и далее в этом параграфе

$$U(x) = \int_0^x u(t) dt.$$

Для любой неотрицательной функции  $\eta \in \mathcal{C}_0^\infty(0, 1)$  имеем  $u + \eta \geq 0$  и, следовательно,  $d\mathcal{P}_1[u]\eta \leq 0$ , что дает  $u'' + \lambda f_1 \leq 0$  в смысле обобщенных функций. Поэтому  $u''$  есть мера (заряд), причем ее сингулярная часть неположительна.

Множество, на котором  $u > 0$ , представляет собой не более чем счетное объединение интервалов. На каждом из этих интервалов  $I$  для любой  $\eta \in \mathcal{C}_0^\infty(I)$  при достаточно малых  $\alpha$  любого знака имеем  $u + \alpha\eta \geq 0$ , и потому  $d\mathcal{P}_1[u](\alpha\eta) \leq 0$  влечет

$$\langle u'', \eta \rangle + \lambda \int_0^1 f_1(x)\eta(x) dx = 0 \quad \Rightarrow \quad -u'' = \lambda f_1 \quad \text{на } I.$$

Таким образом, носитель сингулярной компоненты меры  $u''$  содержится в множестве, на котором  $u = 0$ .

Покажем, что на самом деле сингулярной компоненты у  $u''$  нет. Действительно,  $u'$  как функция ограниченной вариации имеет в каждой точке левое и правое предельные значения. При этом, поскольку нуль – минимальное значение  $u$  на отрезке  $[0, 1]$ , в каждой точке множества  $\{u = 0\} \cap (0, 1)$  имеем  $u'(x-) \leq 0$  и  $u'(x+) \geq 0$ , откуда

$$\int_{\{u=0\} \cap (0, 1)} du'' \geq 0.$$

Таким образом, сингулярная компонента  $u''$  может быть только положительной, что невозможно.

Итак,  $u''$  регулярна и, следовательно,  $u'$  непрерывна на  $[0, 1]$ . Таким образом, на краях каждого интервала  $I$ , кроме условия  $u = 0$ , имеем также  $u' = 0$  (за исключением, возможно, точек 0 и 1).

Покажем, что число интервалов  $I$  на самом деле конечно. Дифференцируя уравнение  $-u'' = \lambda f_1$ , мы получаем

$$u'''(x) = \lambda \left( \int_0^x u(t) dt - x \int_0^1 u(t) dt \right). \quad (6)$$

Повторное дифференцирование дает

$$u^{IV}(x) = \lambda \left( u(x) - \int_0^1 u(t) dt \right). \quad (7)$$

Из сказанного выше следует, что на замыкании каждого интервала  $I$ , не примыкающего к точкам 0 и 1, функция  $u'$  обращается в нуль не менее трех раз. По теореме Ролля  $u''$  имеет не менее двух корней, а  $u'''$  – не менее одного.

Далее, при фиксированном  $\lambda$  из (7) следует, что  $u^{IV}$  равномерно ограничена на всех интервалах  $I$ . Отсюда получаем оценки на  $I$

$$|u'''(x)| \leq c|I|; \quad |u''(x)| \leq c|I|^2; \quad |u'(x)| \leq c|I|^3; \quad |u(x)| \leq c|I|^4,$$

где  $c$  не зависит от длины интервала.

Если длина интервала  $I$  достаточно мала, то из (7) следует, что  $u^{IV}$  отрицательна на  $I$ . Но это означает, что  $u''$  имеет ровно два корня и выпукла вверх на  $I$ , что противоречит неравенству  $u > 0$ . Таким образом, длины интервалов  $I$  ограничены снизу положительным числом, и их количество конечно.

Поскольку  $f_1$  непрерывна на  $[0, 1]$ , можно считать, что  $u''$  непрерывно продолжена на замыкание объединения всех интервалов  $I$ , на котором теперь выполнено уравнение  $-u'' = \lambda f_1$ . Дополнение этого замыкания состоит из конечного числа интервалов, на которых  $u'' = 0$ , и таким образом  $u''$  кусочно непрерывна на  $[0, 1]$ . Отметим, что указанное дополнение непусто, поскольку в ином случае функция  $u$  максимизирована бы функционал  $\mathcal{P}_1[u]$  без ограничения  $u \geq 0$ , что невозможно ввиду результата [2].

Рассмотрим теперь изолированный сегмент  $[x_0, x_1]$ , на котором выполнено уравнение, и сдвинем его на достаточно малое число  $h$ , оставив остальные сегменты на месте, так, чтобы этот сегмент по-прежнему оставался изолированным и не вышел за пределы отрезка  $[0, 1]$ . Для полученной функции  $u_h$  очевидно имеем  $\mathcal{I}[u_h] = \mathcal{I}[u]$ , и

$$\begin{aligned} \mathcal{J}_1[u_h] &= \left( \int_0^{x_0} + \int_{x_1}^1 \right) (U(x) - xU(1))^2 dx + \int_{x_0}^{x_0+h} (U(x_0) - xU(1))^2 dx \\ &\quad + \int_{x_0+h}^{x_1+h} (U(x-h) - xU(1))^2 dx - \int_{x_1}^{x_1+h} (U(x_1) - xU(1))^2 dx. \end{aligned} \quad (8)$$

Сделав в предпоследнем интеграле в (8) замену  $y = x - h$ , легко видеть, что  $\mathcal{J}_1[u_h]$  – квадратный трехчлен от  $h$ , причем

$$\frac{d^2}{dh^2} \mathcal{J}_1[u_h] = 2U(1)(U(x_1) - U(x_0)) > 0.$$

Таким образом, сдвигая сегмент  $[x_0, x_1]$  либо вправо, либо влево вплотную к краю или к соседнему сегменту, мы заведомо увеличиваем функционал  $\mathcal{J}_1[u]$ , а потому и  $\mathcal{P}_1[u]$ .

Итак, остается три варианта:

1.  $-u'' = \lambda f_1$  на  $[0, x_0]$  и  $u = 0$  на  $[x_0, 1]$ ;
2.  $-u'' = \lambda f_1$  на  $[x_1, 1]$  и  $u = 0$  на  $[0, x_1]$ ;
3.  $-u'' = \lambda f_1$  на  $[0, x_0]$  и на  $[x_1, 1]$ , и  $u = 0$  на  $[x_0, x_1]$ .

Легко видеть, что замена  $u(x)$  на  $u(1-x)$  не меняет значения функционала  $\mathcal{P}_1[u]$ . Поэтому варианты 1 и 2 эквивалентны.

В варианте 1 из (6) видно, что  $u'''(0) = 0$ . Таким образом, на отрезке  $[0, x_0]$  уравнение (7) дополняется четырьмя краевыми условиями:

$$u(0) = u(x_0) = 0; \quad u'''(0) = 0; \quad u'(x_0) = 0. \quad (9)$$

В варианте 3 на отрезке  $[0, x_0]$  по-прежнему выполнено уравнение (7) с краевыми условиями (9), а на отрезке  $[x_1, 1]$  – то же уравнение с “перевернутыми” краевыми условиями

$$u(1) = u(x_1) = 0; \quad u'''(1) = 0; \quad u'(x_1) = 0.$$

Из симметрии получаем, что  $x_1 = 1 - x_0$ , и  $u(x) \equiv u(1-x)$ , откуда  $U(x) + U(1-x) \equiv U(1)$ . Теперь прямой подсчет показывает, что для функции  $v(x) = u(x/2)$ ,  $x \in [0, 1]$ , справедливы соотношения

$$\mathcal{I}[v] = \frac{1}{4} \mathcal{I}[u]; \quad \mathcal{J}_1[v] = 4 \mathcal{J}_1[u],$$

и потому функция  $u$  не дает максимума функционалу  $\mathcal{P}_1$ . Таким образом, осталось рассмотреть первый вариант.

Общее решение уравнения (7) при положительных  $\lambda$

$$u(x) = c_1 \operatorname{ch}(kx) + c_2 \operatorname{sh}(kx) + c_3 \cos(kx) + c_4 \sin(kx) + c_5, \quad k^4 = \lambda. \quad (10)$$

При фиксированных  $k$  и  $x_0$  граничные условия (9) дают четыре однородных уравнения на константы  $c_1, \dots, c_5$ . Еще одно уравнение получаем, подставляя (10) непосредственно в (7):

$$\int_0^{x_0} u(t) dt \equiv \int_0^1 u(t) dt = c_5.$$

Условием существования нетривиального решения является равенство нулю определителя соответствующей  $(5 \times 5)$ -матрицы. Это дает

$$\sin\left(\frac{kx_0}{2}\right) \operatorname{sh}\left(\frac{kx_0}{2}\right) \cdot \left[ \operatorname{th}\left(\frac{kx_0}{2}\right) + \operatorname{tg}\left(\frac{kx_0}{2}\right) + k(1 - x_0) \right] = 0. \quad (11)$$

Решение  $u(x)$  при этом определено с точностью до мультиплексивной постоянной.

Заметим теперь, что решение уравнения (7) с граничным условием  $u'''(0) = 0$  автоматически удовлетворяет уравнению (6). Для выполнения же исходного уравнения  $-u'' = \lambda f_1$  необходимо и достаточно, чтобы это уравнение выполнялось в какой-нибудь точке промежутка  $[0, x_0]$ . Например, равенство в точке  $x_0$  имеет вид

$$-u''(x_0) = k^4 \left[ \left( \frac{1}{3} - x_0 + \frac{x_0^2}{2} \right) \int_0^{x_0} u(t) dt + \int_0^{x_0} \frac{t^2}{2} u(t) dt \right],$$

или, после подстановки,

$$\begin{aligned} & (6 - 3k^2 x_0^2) \operatorname{tg}\left(\frac{kx_0}{2}\right) - (6 + 3k^2 x_0^2) \operatorname{th}\left(\frac{kx_0}{2}\right) \\ & + k^3 (2 - 6x_0 + 3x_0^2 + x_0^3) - 6k(1 - x_0) \operatorname{tg}\left(\frac{kx_0}{2}\right) \operatorname{th}\left(\frac{kx_0}{2}\right) = 0. \end{aligned} \quad (12)$$

Нам нужно найти решение системы (11)-(12) с наименьшим  $k$ . Для этого заметим, что при фиксированном  $x_0 < 1$  выражение в квадратных скобках в (11) является монотонной функцией  $k$  на каждом интервале возрастания тангенса. В частности, наименьший корень уравнения (11) удовлетворяет неравенству  $\pi < kx_0 < 2\pi$ . Обозначив  $z = kx_0$ , можно выразить  $k$  через  $z$ :

$$k = z - \operatorname{th}\left(\frac{z}{2}\right) - \operatorname{tg}\left(\frac{z}{2}\right).$$

Из  $x_0 < 1$  выводим  $k > z$ , т.е.  $\operatorname{th}\left(\frac{z}{2}\right) + \operatorname{tg}\left(\frac{z}{2}\right) < 0$ , что позволяет уточнить интервал для  $z$ :  $\pi < z < z_0$ , где  $z_0 \approx 4.7300407$  – корень уравнения  $\operatorname{th}\left(\frac{z}{2}\right) + \operatorname{tg}\left(\frac{z}{2}\right) = 0$  на интервале  $(\pi, 2\pi)$ .

Подставляя выражение для  $k$  в (12), получим после упрощения

$$g(z) := \operatorname{th}^3\left(\frac{z}{2}\right) + 3 \operatorname{th}\left(\frac{z}{2}\right) + \operatorname{tg}^3\left(\frac{z}{2}\right) - 3 \operatorname{tg}\left(\frac{z}{2}\right) = 0. \quad (13)$$

Поскольку  $\lim_{z \rightarrow \pi+0} g(z) = -\infty$ ,  $g(z_0) = 6 \operatorname{th}\left(\frac{z_0}{2}\right) > 0$ , и

$$g'(z) = \frac{3}{2} \left[ \operatorname{tg}^4\left(\frac{z}{2}\right) - \operatorname{th}^4\left(\frac{z}{2}\right) \right] > 0 \quad \text{на } (\pi, z_0),$$

уравнение (13) имеет на интервале  $(\pi, z_0)$  ровно один корень. Приближенное вычисление дает  $\hat{z} \approx 4.00273$ ,  $\hat{k} \approx 5.21579$  и  $\hat{x}_0 \approx 0.767426$ .

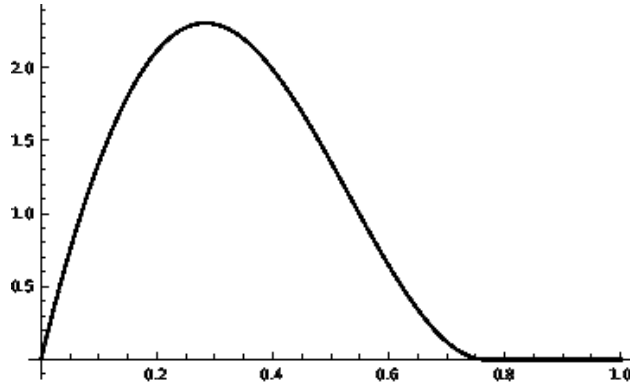


Рис. 1: График максимизирующей функции в задаче (3)

Несложно проверить, что соответствующее решение  $u(x)$  положительно на интервале  $(0, \hat{x}_0)$ . Отсюда видно, что  $f_1(\hat{x}_0) = -\lambda^{-1}u''(\hat{x}_0) < 0$ . Поскольку на интервале  $(\hat{x}_0, 1)$  имеем  $f'_1(x) = U(1)(x - 1) < 0$ , на этом интервале выполнено неравенство  $\lambda f_1(x) < 0 = -u''(x)$ . Таким образом, функция  $u$  удовлетворяет необходимому условию максимума (см. рис. 1). Поскольку  $\lambda = \hat{k}^4$  принимает наименьшее возможное значение, функция  $u$  дает максимум функционалу  $\mathcal{P}_1$  при заданных ограничениях, и максимальное значение равно  $\hat{k}^{-4} \approx 0.0013512$ .

Оптимальный локальный индекс для  $\bar{U}_n^2$ , вычисленный в [2], равен  $z_0^{-4} \approx 0.0019977$ . Таким образом, доступная локальная асимптотическая эффективность статистики  $\bar{U}_n^2$  при альтернативе сдвига составляет более 67% от оптимальной.

### 3 Статистика $S_{\infty,n}$

Мы ищем максимум в экстремальной задаче

$$\begin{aligned} \mathcal{J}_{2,\infty}[u] &:= \max_{[0,1]} \left( u(x) + \int_0^x \frac{u(t)}{1-t} dt - x \int_0^1 \frac{u(t)}{1-t} dt \right)^2 \rightarrow \max; \\ \mathcal{I}[u] &= \int_0^1 (u'(x))^2 dx \leq 1; \quad u \geq 0; \quad u(0) = u(1) = 0. \end{aligned} \tag{14}$$

Аналогично предыдущему параграфу, заключаем, что функционал  $\mathcal{J}_{2,\infty}$  достигает наибольшего значения на множестве в  $\overset{\circ}{W}_2^1(0,1)$ , задаваемом ограничениями  $\mathcal{I}[u] \leq 1$  и  $u \geq 0$ .

Будем действовать в два этапа. Сначала найдем максимум вспомогательного функционала

$$\tilde{\mathcal{J}}_{2,\infty}[u] = \left( u(x_*) + \int_0^{x_*} \frac{u(t)}{1-t} dt - x_* \int_0^1 \frac{u(t)}{1-t} dt \right)^2,$$

где  $x_* \in (0, 1)$  – фиксированная точка. Далее произведем максимизацию полученного результата по  $x^* \in (0, 1)$ .

Итак, пусть  $x^* \in (0, 1)$  задана. Аналогично (5), необходимое условие максимума имеет вид

$$\lambda d\tilde{\mathcal{J}}_{2,\infty}[u]\eta - d\mathcal{I}[u]\eta \leq 0$$

для всех приращений  $\eta \in \overset{\circ}{W}_2^1(0,1)$  таких, что  $u + \eta \geq 0$ . Здесь и далее  $\lambda^{-1}$  – значение функционала  $\mathcal{P}_2[u] \equiv \tilde{\mathcal{J}}_{2,\infty}[u]/\mathcal{I}[u]$  на максимизирующую функцию.

Прямой подсчет дает

$$\frac{1}{2} d(\lambda \tilde{\mathcal{J}}_{2,\infty} - \mathcal{I})[u]\eta = \langle u'' + \lambda f_2, \eta \rangle,$$

где  $u''$  понимается в смысле обобщенных функций, а  $f_2$  – мера (заряд)

$$f_2(x) = (v(x_*) - x_* v(1)) \left[ \delta(x - x_*) + \frac{1}{1-x} (\chi_{[0,x_*]}(x) - x_*) \right];$$

здесь и далее

$$v(x) = u(x) + \int_0^x \frac{u(t)}{1-t} dt \tag{15}$$

– преобразование Хмаладзе функции  $u$  (см. [3]).

Как и в предыдущей задаче, отсюда получаем, что  $u'' + \lambda f_2 \leq 0$  в смысле обобщенных функций. Поэтому  $u''$  есть мера (заряд), и ее сингулярная часть неположительна. Далее, на каждом интервале  $I$  положительности  $u$  имеем  $-u'' = \lambda f_2$ .

Обозначим  $\mathcal{C} = \lambda(v(x_*) - x_* v(1)) > 0$ . Тогда дословным повторением рассуждения из предыдущей задачи выводим, что  $u'' + \mathcal{C}\delta(\cdot - x_*)$  – регулярная функция,  $u'$  непрерывна на  $[0, 1] \setminus \{x_*\}$ , и на краях каждого интервала  $I$ , кроме условия  $u = 0$ , выполнено условие  $u' = 0$  (за исключением, возможно, точек 0 и 1).

Заметим теперь, что на интервале  $I$ , содержащем точку  $x_*$ , имеем

$$u''(x) = \begin{cases} -\frac{\mathcal{C}(1-x_*)}{1-x} < 0, & x < x_*; \\ \frac{\mathcal{C}x_*}{1-x} > 0, & x > x_*. \end{cases} \quad (16)$$

Поэтому на левом конце этого интервала условие  $u' = 0$  выполняться не может. Следовательно, этот интервал начинается от нуля. Тогда на любом другом интервале положительности  $u$  мы имели бы  $u'' > 0$ , что невозможно. Таким образом, остается один вариант:

$$-u'' = \lambda f_2 \text{ на } [0, x_0] \text{ и } u = 0 \text{ на } [x_0, 1].$$

При этом  $x_* < x_0 < 1$ , поскольку в ином случае функция  $u$  максимизировала бы функционал  $\mathcal{P}_2[u]$  без ограничения  $u \geq 0$ , что невозможно ввиду результата [7, §4.4].

Общее решение уравнения (16) на  $[0, x_0]$  имеет вид

$$u(x) = \begin{cases} \mathcal{C}(1-x_*)(1-x) \ln \frac{1}{1-x} + c_1 x + c_2, & 0 < x < x_*; \\ -\mathcal{C}x_*(1-x) \ln \frac{1}{1-x} + c_3 x + c_4, & x_* < x < x_0. \end{cases}$$

Это решение должно удовлетворять граничным условиям

$$u(0) = u(x_0) = u'(x_0) = 0$$

и условиям сопряжения в точке  $x_*$

$$u(x_* - 0) = u(x_* + 0); \quad u'(x_* - 0) = u'(x_* + 0) + \mathcal{C}.$$

(первое из них обеспечивает непрерывность  $u$ , второе контролирует коэффициент при  $\delta(x - x_*)$ ).

Это дает 5 однородных уравнений на  $\mathcal{C}$  и  $c_1-c_4$ . Равенство нулю соответствующего определителя дает

$$x_0 + \ln(1 - x_0) = \ln(1 - x_*)/x_*. \quad (17)$$

При этом  $c_1-c_4$  явно выражаются через  $\mathcal{C}$ , и таким образом решение  $u(x)$  определено с точностью до мультиплекативной постоянной.

Переходя ко второму этапу, мы максимизируем по  $x_*$  функцию

$$\lambda^{-1} = \mathcal{C}^{-1} \left( u(x_*) + \int_0^{x_*} \frac{u(t)}{1-t} dt - x_* \int_0^{x_0} \frac{u(t)}{1-t} dt \right),$$

где  $x_0$  определяется по  $x_*$  из уравнения (17), а  $u$  – полученное на первом этапе решение. После некоторых упрощений это приводит к задаче

$$x_* - 2x_*^2 + x_*^2 x_0^2 \rightarrow \max$$

при условии (17).

В Приложении 2 показано, что эта задача имеет единственную критическую точку – глобальный максимум. Приближенное вычисление дает  $\hat{x}_* \approx 0.4310514$ ,  $\hat{x}_0 \approx 0.88889$ . Очевидно, что соответствующее решение  $u(x)$  положительно на интервале  $(0, x_0)$ . Далее, на интервале  $(\hat{x}_0, 1)$  выполнено неравенство  $\lambda f_2(x) < 0 = -u''(x)$ . Таким образом, функция  $u$  дает максимум функционалу  $\mathcal{P}_2$  при заданных ограничениях (см. рис. 2), и максимальное значение равно  $\hat{x}_* - 2\hat{x}_*^2 + \hat{x}_*^2 \hat{x}_0^2 \approx 0.20625$ .

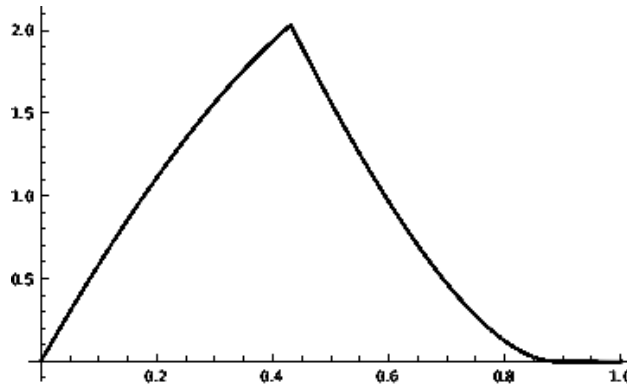


Рис. 2: График максимизирующей функции в задаче (14)

Оптимальный локальный индекс для  $S_{\infty,n}$ , вычисленный в [7], равен 0.25. Таким образом, доступная локальная асимптотическая эффективность статистики  $S_{\infty,n}$  при альтернативе сдвига составляет более 82% от оптимальной.

## Приложения

1. Покажем, что в задаче (4) максимизирующая функция знакопеременна. Хорошо известно, что преобразование Хмаладзе (15) изометрично отображает  $\overset{\circ}{W}_2^1(0, 1)$  на пространство

$$W_{2,0}^1(0, 1) = \{v \in W_2^1(0, 1) \mid v(0) = 0\}.$$

Действительно, интегрирование по частям с учетом граничных условий дает

$$\int_0^1 (v')^2(x) dx = \int_0^1 \left[ (u')^2(x) + \frac{2u'(x)u(x)}{1-x} + \frac{u^2(x)}{(1-x)^2} \right] dx = \int_0^1 (u')^2(x) dx,$$

и задачу (4) можно записать в терминах функции  $v$ :

$$\int_0^1 (v'(x))^2 dx \leq 1; \quad v(0) = 0; \quad \left[ \int_0^1 |v(x) - xv(1)|^p dx \right]^{\frac{2}{p}} \rightarrow \max.$$

Обозначим  $w(x) = v(x) - xv(1)$ . Тогда задача (4) переписывается так:

$$\int_0^1 (w'(x) + a)^2 dx \leq 1; \quad w(0) = w(1) = 0; \quad \left[ \int_0^1 |w(x)|^p dx \right]^{\frac{2}{p}} \rightarrow \max,$$

где  $a = v(1)$ . В силу граничных условий

$$\int_0^1 (w'(x) + a)^2 dx = \int_0^1 ((w'(x))^2 + a^2) dx,$$

Поэтому для максимизирующей функции  $a = 0$ , и  $v = w$ .

Полученная экстремальная задача для  $v = w$  хорошо известна (см., напр., [6, §2.6]; более подробно история вопроса изложена в недавнем обзоре [5]). Максимум в ней достигается на функции (выражаемой в квадратурах), четной относительно точки  $x = \frac{1}{2}$  и выпуклой вверх на интервале  $(0, 1)$ .

Применим теперь обратное преобразование Хмаладзе

$$u(x) = (1-x) \int_0^x \frac{v'(t)}{1-t} dt. \tag{18}$$

Не умоляя общности, будем считать  $v > 0$ . Тогда  $v'(t) > 0$  при  $t < \frac{1}{2}$ , и  $u > 0$  в окрестности нуля. Но поскольку  $v'(t) < 0$  при  $t > \frac{1}{2}$ , и интеграл в (18) расходится (логарифмически) при  $x \rightarrow 1$ , получим  $u(x) < 0$  в окрестности точки  $x = 1$ , и утверждение доказано.

**2.** Мы ищем максимум функции

$$F(x, y) := x - 2x^2 + x^2y^2, \quad x, y \in [0, 1],$$

при условии

$$G(x, y) := y + \ln(1 - y) - \frac{\ln(1 - x)}{x} = 0. \quad (19)$$

Легко видеть, что при всех  $x \in [0, 1)$  уравнение (19) имеет единственное решение  $y = \tilde{y}(x) \in [0, 1]$ . Более того,  $\tilde{y}(x)$  – возрастающая функция,  $\tilde{y}(x) > 0.84$  и  $\lim_{x \rightarrow 1^-} \tilde{y}(x) = 1$ .

По теореме Эйлера необходимое условие экстремума имеет вид

$$\nabla F(x, y) \parallel \nabla G(x, y),$$

что сводится к уравнению

$$D(x, y) := \frac{1}{1 - y} - \frac{4x}{1 - y} + \frac{2x}{1 - x} + \frac{2xy^2}{1 - y} + 2\ln(1 - x) = 0. \quad (20)$$

**Лемма.** Система уравнений (19)–(20) имеет в области  $(0, 1) \times (0, 1)$  единственное решение (см. рис. 3).

*Доказательство.* Легко видеть, что  $\partial_{yy}^2 D(x, y) > 0$ . Далее,

$$D(0, y) > 0; \quad D(0.5, y) < 0; \quad \lim_{x \rightarrow 1} D(x, y) = +\infty.$$

Поэтому при любом  $y \in (0, 1)$  уравнение (20) имеет ровно два решения. Обозначим их  $\hat{x}_1(y) \in (0, 0.5)$  и  $\hat{x}_2(y) \in (0.5, 1)$ . Несложно видеть, что  $\lim_{y \rightarrow 1^-} \hat{x}_2(y) = 1$ .

Покажем, что кривые  $y = \tilde{y}(x)$  и  $x = \hat{x}_2(y)$  не имеют пересечений внутри квадрата. Действительно, рассмотрим прямую  $x = 2y - 1$ . Имеем

$$D(2y - 1, y) = 4 - 2y - 4y^2 + 2\ln(2 - 2y) < 0 \quad \text{при } 0.7 < y < 1,$$

и потому  $\hat{x}_2(y) > 2y - 1$  при  $0.7 < y < 1$ . В то же время

$$G(2y - 1, y) = y + \ln(2 - 2y)/(1 - 2y) + \ln(1 - y) > 0 \quad \text{при } 0 < y < 1,$$

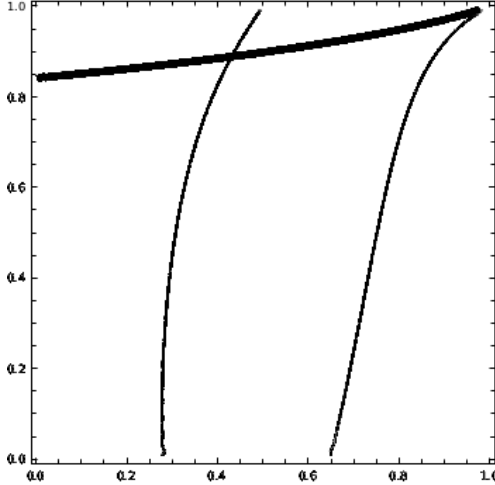


Рис. 3: Решения уравнений (19) (жирная линия) и (20) (тонкая линия)

поэтому  $2\tilde{y}(x) - 1 > x$ , и утверждение доказано.

Рассмотрим теперь ветку  $x = \hat{x}_1(y)$ . Она имеет хотя бы одно пересечение с кривой  $y = \tilde{y}(x)$ . Поскольку  $D(0.4, y) > 0$  при  $y \in (0.84, 1)$ , имеем  $\hat{x}_1(y) \in (0.4, 0.5)$  при  $y \in (0.84, 1)$ . Далее,  $G(0.5, y) < 0$  при  $y \in (0.9, 1)$ , и потому  $\tilde{y}(x) \in (0.84, 0.9)$  при  $x < 0.5$ . Наконец,  $D(0.45, y) < 0$  при  $y \in (0.84, 0.9)$ , поэтому  $\hat{x}_1(y) \in (0.4, 0.45)$  при  $y \in (0.84, 0.9)$ . Итак, мы показали, что точка пересечения кривых  $y = \tilde{y}(x)$  и  $x = \hat{x}_1(y)$  не может лежать вне прямоугольника  $\Delta = (0.4, 0.45) \times (0.84, 0.9)$ .

Дифференцируя неявную функцию  $\tilde{y}(x)$ , получаем

$$\tilde{y}'(x) = \frac{(1-y)(x + (1-x)\ln(1-x))}{(1-x)x^2y} \Big|_{y=\tilde{y}(x)}. \quad (21)$$

Обозначим  $G_1(x, y)$  функцию, стоящую в правой части (21). Несложно убедиться, что  $G_1(x, y)$  в прямоугольнике  $\Delta$  убывает по  $y$  и возрастает по  $x$ . Поэтому в пределах прямоугольника  $\Delta$  имеем

$$\tilde{y}'(x) < G_1(0.45, 0.84) < 0.2.$$

Аналогично, дифференцируя неявную функцию  $\hat{x}_1(y)$ , получаем

$$\hat{x}_1'(y) = \frac{(1-x)^2(1-4x+4xy-2xy^2)}{2(1-y)(2-5x+2x^2+xy-(1-x)^2y^2)} \Big|_{x=\hat{x}_1(y)}. \quad (22)$$

Обозначим  $D_1(x, y)$  функцию, стоящую в правой части (22). Несложно убедиться, что  $D_1(x, y)$  в прямоугольнике  $\Delta$  убывает по  $x$  и возрастает по  $y$ . Поэтому в пределах прямоугольника  $\Delta$  имеем

$$\hat{x}'_1(y) < D_1(0.4, 0.9) < 0.9.$$

Из полученных неравенств следует, что точка пересечения единственная. Лемма доказана.  $\square$

Поскольку  $F(0, y) \equiv 0$  и  $F(1, 1) = 0$ , найденное решение системы (19)–(20) является точкой максимума.

## Список литературы

- [1] P. Deheuvels, *Invariance of Wiener processes and of Brownian bridges by integral transforms and applications*, Stochastic Processes and their Applications, **13** (1982), N3, 311-318.
- [2] N. Henze and Ya.Yu. Nikitin, *Watson-Type Goodness-of-Fit Tests Based on the Integrated Empirical Process*, Mathematical Methods of Statistics, January 2002.
- [3] Э.В. Хмаладзе, *Мартингальный подход в теории непараметрических критериев согласия*, Теория вероятн. и ее примен., **26** (1981), N2, 246-265.
- [4] G. Kallianpur, H. Oodaira, Freidlin–Wentzell type estimates for abstract Wiener spaces. *Sankhyā: The Indian Journal of Statistics, Series A*, **40** (1978), N2, 116–137.
- [5] A.I. Nazarov, A.P. Shcheglova, *Steklov-type 1D inequalities (a survey)*, Preprint available at <https://arxiv.org/abs/2101.10752>. 13p.
- [6] Я.Ю. Никитин, *Асимптотическая эффективность непараметрических критериев согласия*, М., Физматлит, 1995.
- [7] О.А. Подкорытова, *Бахадуровская эффективность непараметрических критериев согласия, основанных на преобразованных эмпирических процессах*, Дисс. ... к.ф.м.н., СПбГУ, СПб, 1994.